

Chap 4. L'algorithme de Shor.

Comme nous l'avons expliqué dans le chapitre précédent on peut baser la factorisation d'un entier N sur la recherche de l'ordre d'un nombre a pris au hasard dans $\{2, 3, \dots, N-1\}$.

L'ordre $\text{Ord}_N(a)$ est le plus entier r tel que

$$a^r = 1 \pmod{N}.$$

En d'autres termes il s'agit de la période de la fonction arithmétique

$$f_{a,N}: \mathbb{Z} \rightarrow \mathbb{Z}$$

$$x \mapsto a^x = f_{a,N}(x) \pmod{N}.$$

L'ordre est le plus petit entier t q

$$f_{a,N}(x) = f_{a,N}(x+t) \quad \forall x.$$

Nous commençons donc par étudier un algorithme général de "recherche de la période d'une fonction arithmétique".

4.1. Recherche de la période d'une fonction arithmétique.

Soit $f: \mathbb{Z} \rightarrow \mathbb{Z}$ de période r inconnue.

$$f(x) = f(x+r) \quad \forall x$$

Comme nous nous sommes obligés de travailler avec un nombre fini de bits nous avons tronqué \mathbb{Z} à $\mathbb{Z}_M = \{0, 1, 2, \dots, M-1\}$

où M est choisi bien plus grand que r : $M \gg r$.

En fait r est inconnu mais nous supposons que l'on a quand même une vague idée de son ordre de grandeur et qu'il est possible de prendre $M \gg r$. \mathbb{Z}_M est le groupe des entiers pris mod M ; donc dans ce paragraphe nos opérations sont mod M .

Soit $H = \{ \text{ensemble des multiples de } r \text{ plus petits que } M \}$.

Si M est un multiple de r alors H est un sous groupe de \mathbb{Z}_M et nous pouvons espérer appliquer un algorithme ressemblant à celui de Simon. Par contre si M n'est pas un multiple de r alors H n'est pas exactement un sous groupe de \mathbb{Z}_M . Néanmoins comme $M \gg r$ on peut considérer que "l'effet de bord" ne sera pas visible pour la plupart des entiers et que " H est presque" un sous groupe de \mathbb{Z}_M .

Puisque r est inconnu, il n'est pas possible de choisir

(3)

$M \gg n$ multiple de n (d'ailleurs d'avoir beaucoup beaucoup de chance!) et nous serons toujours dans le cas où H est presque un sous-groupe de \mathbb{Z}_M . Cela va créer quelques ennuis techniques; mais essentiellement l'algorithme sera une généralisation de celui de Simon.

Tant d'abord il nous faut représenter les entiers $x \in \{0 \dots M-1\}$ par des états quantiques. Nous prenons (sans perte de généralité) $M = 2^m$ et notons que x peut être représenté par son expansion binaire

$$x = 2^{m-1} x_{m-1} + 2^{m-2} x_{m-2} + \dots + 2^2 x_2 + 2 x_1 + x_0.$$

par m bits $x = \underbrace{(x_{m-1} \dots x_0)}_{\text{div binaire de } x}.$

\mathcal{H} est alors naturel de prendre comme espace de Hilbert

$$\underbrace{\mathbb{C}^2 \otimes \dots \otimes \mathbb{C}^2}_{m \text{ fois}} = \mathcal{H}$$

et de stocker x dans un état $|x\rangle \in \mathcal{H}$ construit à partir de m bits quantiques (systèmes à 2 niveaux, spins, photons...)

$$|x\rangle = |x_{m-1}\rangle \otimes \dots \otimes |x_0\rangle = |x_{m-1}, \dots, x_0\rangle.$$

La fonction f est connue d'habitudes représentée par l'opérateur unitaire

$$U_f : |x\rangle \otimes |0\rangle \mapsto U_f |x\rangle \otimes |0\rangle = |x\rangle \otimes |f(x)\rangle.$$

où $|0\rangle$ et $|f(x)\rangle$ sont des états à m qubits, puisque

$f(x)$ prend ses valeurs dans \mathbb{Z}_M et $M = 2^m$.

Nous aurons aussi besoin de la "Transformée de Fourier Quantique"

définie par :

$$\begin{aligned} \text{QFT } |x\rangle &= \frac{1}{\sqrt{M}} \sum_{y=0}^{M-1} e^{2\pi i \frac{xy}{M}} |y\rangle \\ &= \frac{1}{\sqrt{M}} \sum_{y_0 \dots y_{m-1}} e^{2\pi i \frac{xy}{M}} |y_0 \dots y_{m-1}\rangle. \end{aligned}$$

Cette opération est linéaire, c. e. d que si $|\psi\rangle = \sum_{x=0}^{M-1} c_x |x\rangle$

on a :

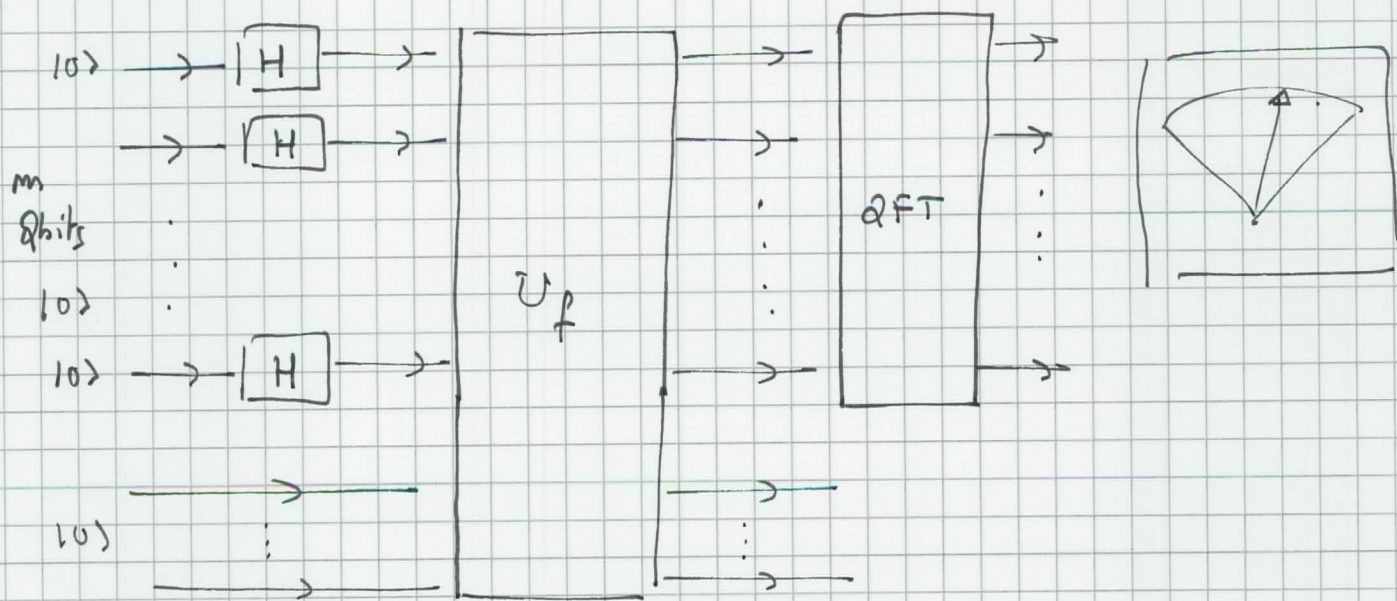
$$\text{QFT } |\psi\rangle = \sum_{x=0}^{M-1} c_x \text{QFT } |x\rangle.$$

On peut montrer que l'opération est unitaire : ceci est un prérequis important pour pouvoir la réaliser grâce à un circuit quantique.

4.2 Circuit Pour la Recherche de la Période.

(5)

Donnons maintenant le circuit de l'algorithme de recherche de la période :



Le circuit pour U_f dépend de la fonction spécifique. Plus tard nous prendrons la fonction ($f(x) = a^x \pmod N$) et verrons comment réaliser son circuit. Le circuit pour QFT sera réalisé plus loin.

Calculons l'évolution de l'état initial

$$|0\rangle \otimes |0\rangle \dots = \underbrace{|0 \dots 0\rangle}_{m \text{ fois}} \otimes \underbrace{|0 \dots 0\rangle}_{m \text{ fois}}$$

Juste après la porte de Hadamard :

$$H^{\otimes m} \underbrace{|0 \dots 0\rangle}_{m \text{ fois}} \otimes |0\rangle \dots$$

$$= \left\{ \frac{1}{\sqrt{2^{m/2}}} \sum_{x_0 \dots x_{m-1}} |x_{m-1} \dots x_0\rangle \right\} \otimes |0\rangle$$

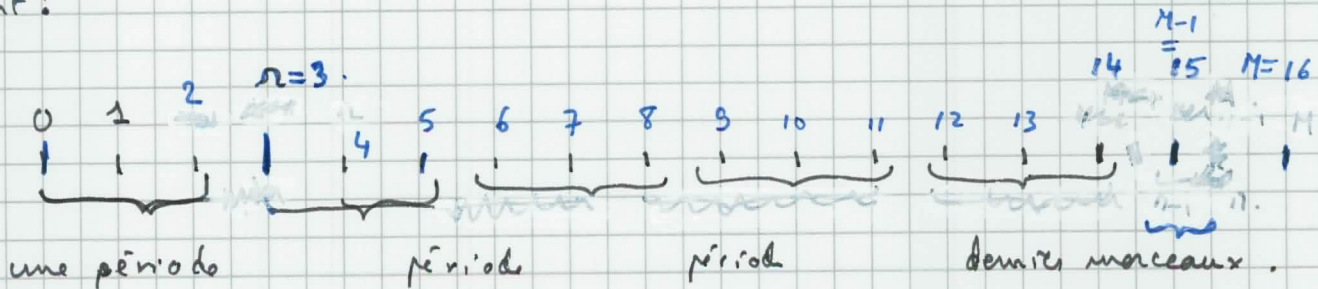
Non avons, comme d'habitude, créer un état de superposition cohérente sur toutes les entrées classiques. Cet état peut aussi s'écrire de façon plus compacte :

$$\left\{ \frac{1}{2^{M/2}} \sum_{x=0}^{M-1} |x\rangle \right\} \otimes |0\rangle.$$

Après U_f nous obtenons l'état :

$$\frac{1}{2^{M/2}} \sum_{x=0}^{M-1} |x\rangle \otimes |f(x)\rangle.$$

Exploisons le fait que f est périodique pour organiser cette somme. L'intervalle $[0, M-1]$ est décomposé en morceaux de largeur r , sauf pour le dernier qui sera plus court :



Sur la figure $r = 3$ et $M = 5 \cdot 3 + 1 = 16 = 2^4$.

Les entiers de la première période sont $x_0 \in \{0, 1, \dots, r-1\}$.

~~Les entiers de la deuxième période sont $x_0 + r \in \{3, 4, \dots, 5\}$.~~

~~Les entiers de la troisième période sont $x_0 + 2r \in \{6, 7, \dots, 8\}$.~~

Si M était un multiple de r on pourrait représenter chaque entier x comme

$$x = x_0 + j r \quad \text{avec} \quad 0 \leq j \leq \frac{M}{r} - 1$$

(car il y a $\frac{M}{r}$ périodes).

En ~~général~~ général on aura la représentation

$$x = x_0 + j r \quad \text{avec} \quad 0 \leq j \leq A(x_0) - 1.$$

où $A(x_0)$ est un entier qui doit satisfaire

$$M - r \leq x_0 + A(x_0) r \leq M - 1$$

doit être dans la dernière période.

~~général~~

Notons ~~général~~ avons :

$$\begin{aligned} & \frac{1}{2^{M/r}} \sum_{x=0}^{M-1} |x\rangle \otimes |f(x)\rangle \\ &= \frac{1}{2^{M/r}} \sum_{x_0=0}^{r-1} \sum_{j=0}^{A(x_0)-1} |x_0 + j r\rangle \otimes |f(x_0 + j r)\rangle \\ &= \frac{1}{2^{M/r}} \sum_{x_0=0}^{r-1} \sum_{j=0}^{A(x_0)-1} |x_0 + j r\rangle \otimes |f(x_0)\rangle. \end{aligned}$$

Maintenant nous agissons sur cet état avec QFT. L'état

obtenu est :

$$\frac{1}{2^{m/2}} \sum_{x_0=0}^{n-1} \sum_{j=0}^{A(x_0)-1} \text{QFT} |x_0 + jn\rangle \otimes |f(x_0)\rangle$$

$$= \frac{1}{2^{m/2}} \sum_{x_0=0}^{n-1} \sum_{j=0}^{A(x_0)-1} \frac{1}{2^{m/2}} \sum_{y=0}^{M-1} e^{2\pi i \frac{(x_0 + jn)y}{M}} |y\rangle \otimes |f(x_0)\rangle$$

$$= \frac{1}{M} \sum_{x_0=0}^{n-1} \left\{ \sum_{y=0}^{M-1} \left(e^{2\pi i \frac{x_0 y}{M}} \sum_{j=0}^{A(x_0)-1} e^{2\pi i \frac{jy}{M/2}} \right) |y\rangle \right\} \otimes |f(x_0)\rangle$$

Cette dernière expression est l'état final $|\psi_{fin}\rangle$ juste avant la mesure.

4.3 Le Processus de Mesure.

Il reste maintenant à prendre une base représentant l'appareil de mesure. Celle-ci est formée par les projecteurs

$$P_y = |y\rangle \langle y| \otimes \mathbb{1}_{M \times M} \quad ; \quad y \in \{0, 1, 2, \dots, M-1\}$$

L'état quantique résultant juste après la mesure est

$$\frac{P_y |\psi\rangle_{fin}}{\langle \psi_{fin} | P_y | \psi_{fin} \rangle}$$

avec la probabilité

$$P(y) = \langle \psi_{fin} | P_y | \psi_{fin} \rangle$$

Le calcul détaillé sera fait aux exercices. D'abord on calcule

$P_y |\psi_{fin}\rangle$ puis on fait le produit scalaire $\langle \psi_{fin} | (P_y | \psi_{fin}\rangle)$.

Cela donne

$$P_r(y) = \frac{1}{M^2} \sum_{x_0=0}^{r-1} \left| \sum_{j=0}^{A(x_0)-1} e^{2\pi i \frac{jy}{M/r}} \right|^2$$

on nous rappelle que $A(x_0)$ est un entier (unique) $\neq 0$

$$M-r \leq x_0 + (A(x_0)-1)r \leq M-1.$$

4.4 Analyse de cette Probabilité :

A. Traitons d'abord le cas (idéaliste) simple où M serait un

multiple de r . Dans ce cas $A(x_0) = \frac{M}{r}$ et donc

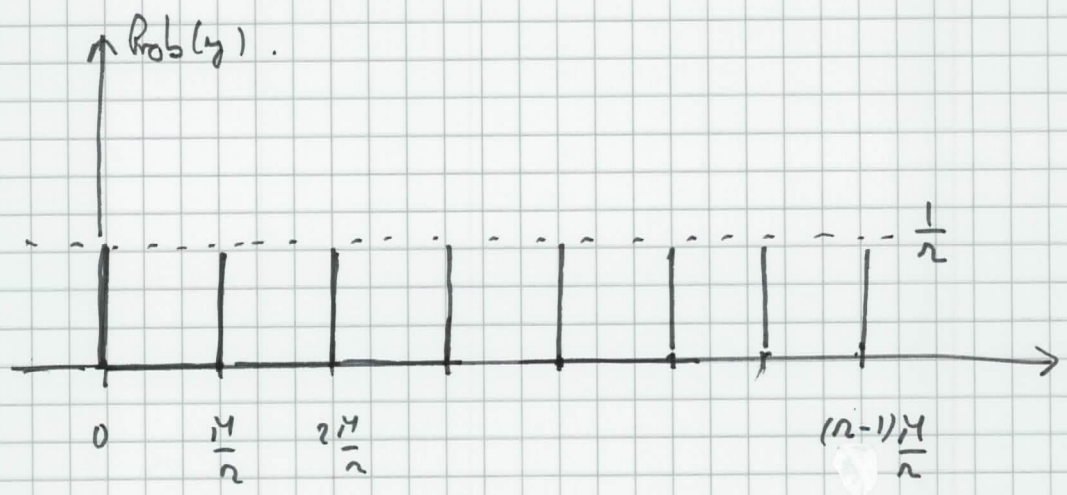
$$P_r(y) = \frac{r}{M^2} \left| \sum_{j=0}^{\frac{M}{r}-1} e^{2\pi i \frac{jy}{M/r}} \right|^2.$$

Si $y = k \cdot \frac{M}{r}$ avec $k \in \{0, 1, \dots, r-1\}$ on a

$$e^{2\pi i \frac{jy}{M/r}} = e^{2\pi i jk} = 1.$$

si bien que $P_n(y) = \frac{n}{M^2} \cdot \left| \frac{M}{n} \right|^2 = \frac{1}{n}$. Puisque

cette probabilité doit se sommer à 1, nous en déduisons qu'elle est nulle pour toutes les autres valeurs de $y \neq k \frac{M}{n}$.



La mesure donne avec probabilité $\frac{1}{n}$ une valeur de y t.q

$$y = k \frac{M}{n} \quad \text{avec } k \in \{0, 1, \dots, n-1\}.$$

Puisque M est connu, grâce à la valeur y donnée par la mesure nous calculons $\frac{y}{M}$. Deux cas de figure se présentent nous

i) $\frac{y}{M} = \frac{k}{n}$ avec $\text{PGCD}(k, n) = 1$. Alors nous pouvons trouver k et n en simplifiant la fraction $\frac{y}{M}$ "au maximum"

jusqu'à ce que les numérateurs et dénominateurs n'aient plus de facteurs communs. Nous trouvons n .

ii) $\frac{y}{M} = \frac{k}{n}$ avec $\text{PGCD}(k, n) \neq 1$. Alors nous ne serons pas jusqu'à simplifier la fraction et nous ne trouvons pas n de façon certaine.

La probabilité de succès est la probabilité d'être dans le premier cas. D'après ce que nous avons écrit au chap 3 :

$$\text{Prob}(\text{PGCO}(k, r) = 1, k \in \{0, \dots, r-1\}) \geq \frac{\varphi(r)}{r} \geq \frac{1}{4 \log \log r}$$

Puisque $r < M$ nous avons une probabilité de succès

$$\Pr(\text{succès}) \geq \frac{1}{4 \log \log M} \quad \left(= \frac{1}{4 \log m} \right)$$

Bien que cette probabilité soit faible, nous pouvons l'amplifier en faisant tourner le circuit plusieurs fois. Au bout de T rounds :

$$\Pr(\text{au moins 1 succès au bout de } T \text{ rounds}) \geq 1 - \left(1 - \frac{1}{4 \log \log M}\right)^T$$

ce qui peut être rendu proche de $1 - \epsilon$ si on prend

$$T = O\left(\frac{1}{\log \log \log M}\right) = O\left(\frac{1}{\log m / \ln \epsilon}\right).$$

(En effet : $1 - \left(1 - \frac{1}{4 \log \log M}\right)^T \geq 1 - \epsilon$

$$\Leftrightarrow \epsilon \geq \left(1 - \frac{1}{4 \log \log M}\right)^T \Leftrightarrow \ln \epsilon \geq T \log \left(1 - \frac{1}{4 \log \log M}\right)$$

$$\Leftrightarrow \ln \epsilon \geq -T \frac{1}{4 \log \log M} \quad (\text{si } M \text{ large})$$

$$\Leftrightarrow \boxed{T \geq 4 \log \log M / \ln \epsilon}$$

B. Passons maintenant au cas général où M n'est pas un multiple de n .

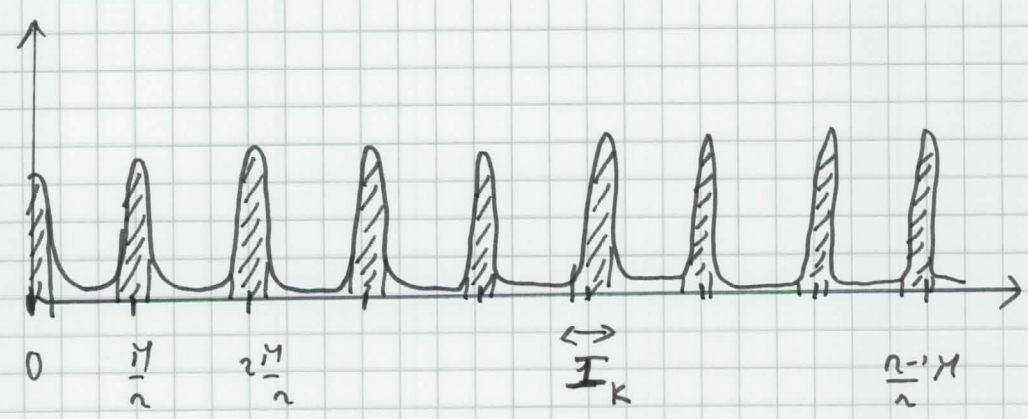
Lemme. Soit $I = \bigcup_{k=0}^{n-1} \left[k \frac{M}{n} - \frac{1}{2}, k \frac{M}{n} + \frac{1}{2} \right] = \bigcup_{k=0}^{n-1} I_k$

une union d'intervalles disjoints I_k (voir figure). Alors

$$\text{Prob}(y \in I) \geq \frac{2}{5}$$

En fait pour M ^{de plus en plus} grand on peut remplacer $\frac{2}{5}$ par un nombre aussi proche que l'on veut de $\frac{4}{\pi^2}$.

Nous prouvons ce lemme plus tard. Sa signification est la suivante : avec probabilité au moins $\frac{2}{5}$ les valeurs obtenues de y sont proche des points $k \frac{M}{n}$ avec $k \in \{0, 1, \dots, n-1\}$.



L'aire hachurée est supérieure à $\frac{2}{5}$.

Si $y \in I$ cela signifie qu'il existe k entier tel que

$$k \frac{M}{n} - \frac{1}{2} \leq y \leq k \frac{M}{n} + \frac{1}{2}$$

$$-\frac{1}{2} \leq y - \frac{kM}{n} \leq \frac{1}{2}$$

$$-\frac{1}{2M} \leq \frac{y}{M} - \frac{k}{n} \leq \frac{1}{2M}$$

ce qui est équivalent à $|\frac{y}{M} - \frac{k}{n}| \leq \frac{1}{2M}$.

Maintenant nous supposons que nous avons pris $M \gg n$ t.q
 $M > n^2$, Alors la mesure donne un y t.q

$$|\frac{y}{M} - \frac{k}{n}| \leq \frac{1}{2n^2} \text{ pour } k \in \{0, 1, \dots, n-1\}.$$

avec prob $\geq \frac{2}{5}$.

Comment pouvons nous déterminer k et n ?

~~Il s'agit de trouver un entier k tel que $0 \leq k < n$ et $|\frac{y}{M} - \frac{k}{n}| \leq \frac{1}{2n^2}$.
D'après ce que nous avons vu~~

dans le théorème des fractions continues, si $\text{PGCD}(k, n) = 1$, alors

$\frac{k}{n}$ est un "convergent" du développement en fractions continues de

$\frac{y}{M}$. De plus il y a un nombre fini de "convergents" de $\frac{y}{M}$.

(car $\frac{y}{M}$ est rationnel). On calcule tous les convergents $\frac{k}{n}$

et on regarde leur dénominateurs n . On teste si n est

bien une période de f .

Quelle est la probabilité de succès de l'algorithme ?

Lors d'une expérience on obtient $|y \text{ final} \rangle$ et on effectue une mesure. Cette mesure donne l'entier y .

Pour avoir un succès il faut :

- $y \in I_k$ pour un certain $k \in \{0, \dots, r-1\}$
- Etant donné $y \in I_k$ il faut $\text{PGCD}(k, r) = 1$
(sinon $\frac{k}{r}$ ne peut pas être un convergent de $\frac{y}{N}$).

Donc :

$$P_n(\text{succès}) = \sum_{k=0}^{r-1} P_n(y \in I_k) P(\text{PGCD}(k, r) = 1 \mid y \in I_k)$$

$$\geq \left\{ \sum_{k=0}^{r-1} P_n(y \in I_k) \right\} \frac{1}{4 \log(\log r)} = \frac{2}{5} \cdot \frac{1}{4 \log(\log r)}$$

La probabilité de succès est donc supérieure à $\frac{1}{10 \log \log r}$. En

itérant l'expérience $T \approx O\left(\frac{1}{\epsilon} \log \log r\right)$ fois on peut

amplifier la prob de succès à $1 - \epsilon$.

Il nous reste à démontrer le lemme de la page 12.

Démonstration du Lemme.

Dans l'expression de $P_n(y)$ nous reconnaissons une somme géométrique de raison $\exp\left(\frac{2\pi i y}{M/n}\right)$:

$$\begin{aligned} \sum_{j=0}^{A(x_0)-1} \exp\left(\frac{2\pi i y j}{M/n}\right) &= \frac{1 - \left(\exp\left(\frac{2\pi i y}{M/n}\right)\right)^{A(x_0)}}{1 - \exp\left(\frac{2\pi i y}{M/n}\right)} \\ &= \frac{\sin \pi \frac{y A(x_0)}{M/n}}{\sin \pi \frac{y}{M/n}}. \end{aligned}$$

La probabilité d'obtenir l'entier y est donc :

$$\text{Prob}(y) = \frac{1}{M^2} \sum_{x_0=0}^{\Omega-1} \left\{ \frac{\sin^2 \pi \frac{y A(x_0)}{M/n}}{\sin^2 \pi \frac{y}{M/n}} \right\}.$$

Maintenant nous allons estimer cette probabilité pour $y \in I_k$.

Fixons $k \frac{M}{n} - \frac{1}{2} \leq y \leq k \frac{M}{n} + \frac{1}{2}$. On peut toujours écrire : (périodicité de \sin).

$$\frac{\sin^2 \pi \frac{y A(x_0)}{M/n}}{\sin^2 \pi \frac{y}{M/n}} = \frac{\sin^2 \pi \frac{(y - k \frac{M}{n}) A(x_0)}{M/n}}{\sin^2 \pi \frac{(y - k \frac{M}{n})}{M/n}}$$

Considérons la fonction

$$G(z) = \frac{\sin^2 \frac{\pi z A}{M/n}}{\sin^2 \frac{\pi z}{M/n}} \quad \text{pour } -\frac{1}{2} \leq z \leq \frac{1}{2}.$$

On peut vérifier qu'elle atteint son minimum au bord de l'intervalle, c'est-à-dire en $z = \pm \frac{1}{2}$. Donc :

$$\frac{\sin^2 \pi \frac{y A(x_0)}{M/n}}{\sin^2 \frac{\pi y}{M/n}} \geq \frac{\sin^2 \frac{\pi}{2} \frac{A(x_0)}{M/n}}{\sin^2 \frac{\pi}{2} \frac{1}{M/n}}$$

Puisque $M \gg n$ on peut utiliser l'approximation

$A(x_0) \approx \frac{M}{n}$ (en fait $A(x_0)$ est un entier proche de $\frac{M}{n}$). Donc

cette borne inférieure est

$$\approx \frac{\sin^2 \frac{\pi}{2}}{\sin^2 \frac{\pi}{2} \frac{n}{M}} \approx \frac{1}{\frac{\pi^2}{4} \left(\frac{n}{M}\right)^2} = \frac{4}{\pi^2} \frac{M^2}{n^2}.$$

Finalement

$$P_n(y \in I_K) \geq \frac{1}{M^2} \sum_{x_0=0}^{n-1} \frac{4}{\pi^2} \frac{M^2}{n^2} = \frac{4}{\pi^2} \frac{1}{n}.$$

et

$$P_n(y \in I) = \sum_{K=0}^{n-1} P_n(y \in I_K) \geq \frac{4}{\pi^2} \quad \text{car les intervalles sont disjoints}$$

4.5. Le circuit de la QFT.

Dans ce paragraphe nous montrons comment réaliser le circuit de la QFT. Au exercice nous avons vu que pour $M=2$ on a

$QFT = H$ (la porte de Hadamard) :

$$(QFT)_{M=2} |x\rangle = \frac{1}{\sqrt{2}} (|0\rangle + (-1)^x |1\rangle)$$

et que pour $M=4$

$$\begin{aligned}
QFT |x\rangle &= \frac{1}{\sqrt{4}} (|00\rangle + e^{i\frac{\pi}{2}x} |11\rangle + e^{i\pi x} |22\rangle + e^{3i\frac{\pi}{2}x} |33\rangle) \\
&= \frac{1}{\sqrt{4}} (|00\rangle + e^{i\frac{\pi}{2}x} |01\rangle + e^{i\pi x} |10\rangle + e^{3i\frac{\pi}{2}x} |11\rangle) \\
&= \frac{1}{\sqrt{2}} (|0\rangle + e^{i\pi x} |1\rangle) \otimes \frac{1}{\sqrt{2}} (|0\rangle + e^{i\frac{\pi}{2}x} |1\rangle)
\end{aligned}$$

l'entree $x \in \{0, 1, 2, 3\}$ peut être représentée en notation binaire

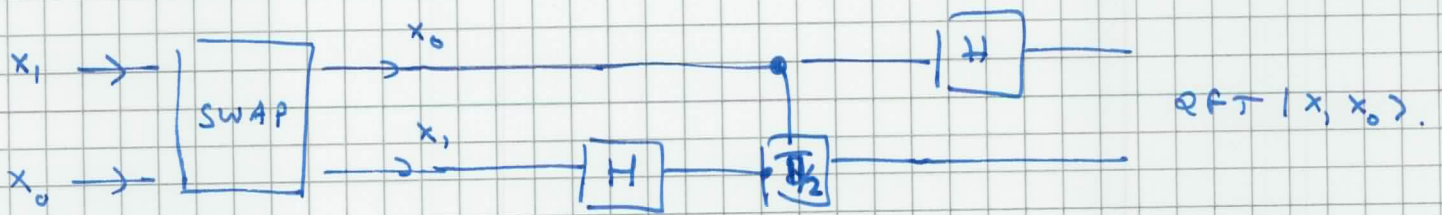
$$x = 2x_1 + x_0 \quad ; \quad x_0, x_1 \in \{0, 1\}$$

Puisque $e^{i\pi x} = e^{2\pi i x_1} e^{i\pi x_0} = (-1)^{x_0}$ et

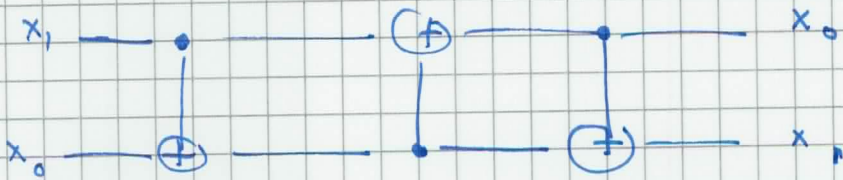
$$e^{i\frac{\pi}{2}x} = e^{i\pi x_1} e^{i\frac{\pi}{2}x_0} = (-1)^{x_1} e^{i\frac{\pi}{2}x_0} \quad \text{on trouve :}$$

$$QFT |x\rangle = \left(\frac{|0\rangle + (-1)^{x_0} |1\rangle}{\sqrt{2}} \right) \otimes \left(\frac{|0\rangle + (-1)^{x_1} e^{i\frac{\pi}{2}x_0} |1\rangle}{\sqrt{2}} \right)$$

Cette factorisation est à la base de la réalisation du circuit de la QFT. Pour $M=4$ la factorisation ci-dessus suggère le circuit suivant :



La première opération échange les deux qubits. Elle peut être réalisée par trois portes CNOT



La seconde opération est une porte de Hadamard appliquée sur $|x_1\rangle$ pour produire $\frac{1}{\sqrt{2}}(|0\rangle + (-1)^{x_1}|1\rangle)$. La troisième opération est un

"phase-shift" contrôlé par le premier bit x_0 . Si $x_0 = 0$ il n'y a pas de phase shift et le second bit reste dans l'état $\frac{1}{\sqrt{2}}(|0\rangle + (-1)^{x_1}|1\rangle)$.

Si $x_0 = 1$, il y a un phase shift et le second bit est transformé en $\frac{1}{\sqrt{2}}(|0\rangle + (-1)^{x_1} e^{i\frac{\pi}{2}}|1\rangle)$.

Enfin, la dernière porte de Hadamard agit sur $|x_0\rangle$ pour produire $\frac{1}{\sqrt{2}}(|0\rangle + (-1)^{x_0}|1\rangle)$.

Le circuit général de la QFT est une généralisation des remarques ci-dessus.

Lemme. Soit $x \in \{0, 1, \dots, M-1\}$ et $M = 2^m$.

$$\text{QFT} |x\rangle = \frac{1}{\sqrt{2}} \prod_{l=1}^m \left(|0\rangle + e^{i\frac{\pi}{2^{l-1}}x} |1\rangle \right)$$

Preuve. Rappelons que

$$\text{QFT } |x\rangle = \frac{1}{\sqrt{M}} \sum_{y=0}^{M-1} e^{2\pi i \frac{xy}{M}} |y\rangle = \frac{1}{\sqrt{\frac{M}{2}}} \sum_{y=0}^{\frac{M}{2}-1} e^{2\pi i \frac{xy}{\frac{M}{2}}} |y\rangle$$

Chaque $y \in \{0, 1, \dots, 2^m - 1\}$ possède un développement binaire

$$y = 2^{m-1} y_{m-1} + 2^{m-2} y_{m-2} + \dots + 2 y_1 + y_0$$

$$= 2 y' + y_0$$

ou $y' = 2^{m-2} y_{m-1} + \dots + y_1$. On décompose la somme sur

y en une somme avec $y_0 = 0$ et une somme avec $y_0 = 1$ (cela revient

à séparer les y pairs et impairs.)

$$\text{QFT } |x\rangle = \frac{1}{2^{m/2}} \sum_{y'=0}^{\frac{m-1}{2}-1} e^{2\pi i \frac{x \cdot 2y'}{2^m}} |y'\rangle \otimes |0\rangle$$

$$+ \frac{1}{2^{m/2}} \sum_{y'=0}^{\frac{m-1}{2}-1} e^{2\pi i \frac{x(2y'+1)}{2^m}} |y'\rangle \otimes |1\rangle$$

$$= \left(\frac{1}{2^{\frac{m-1}{2}}} \sum_{y'=0}^{\frac{m-1}{2}-1} e^{2\pi i \frac{x y'}{2^{\frac{m-1}{2}}}} |y'\rangle \right) \otimes \left(|0\rangle + e^{2\pi i \frac{x}{2^{\frac{m-1}{2}}}} |1\rangle \right)$$

Cette factorisation peut maintenant être répétée sur la première parenthèse, la seule différence est que $m \rightarrow m-1$. On obtient

$$QFT|x\rangle = \left(\frac{1}{2^{\frac{m-2}{2}}} \sum_{j''=0}^{m-2} e^{2\pi i \frac{x j''}{2^{m-2}}} |j''\rangle \right) \otimes \frac{|0\rangle + e^{\frac{i\pi x}{2^{m-2}}} |1\rangle}{\sqrt{2}}$$

$$\otimes \frac{|0\rangle + e^{\frac{i\pi x}{2^{m-1}}} |1\rangle}{\sqrt{2}}$$

En itérant ce procédé on obtient le résultat du lemme.

La dernière étape consiste à remplacer x par son développement binaire (comme nous l'avons fait pour $M=4$).

$$x = 2^{m-1} x_{m-1} + \dots + 2^2 x_2 + 2x_1 + x_0$$

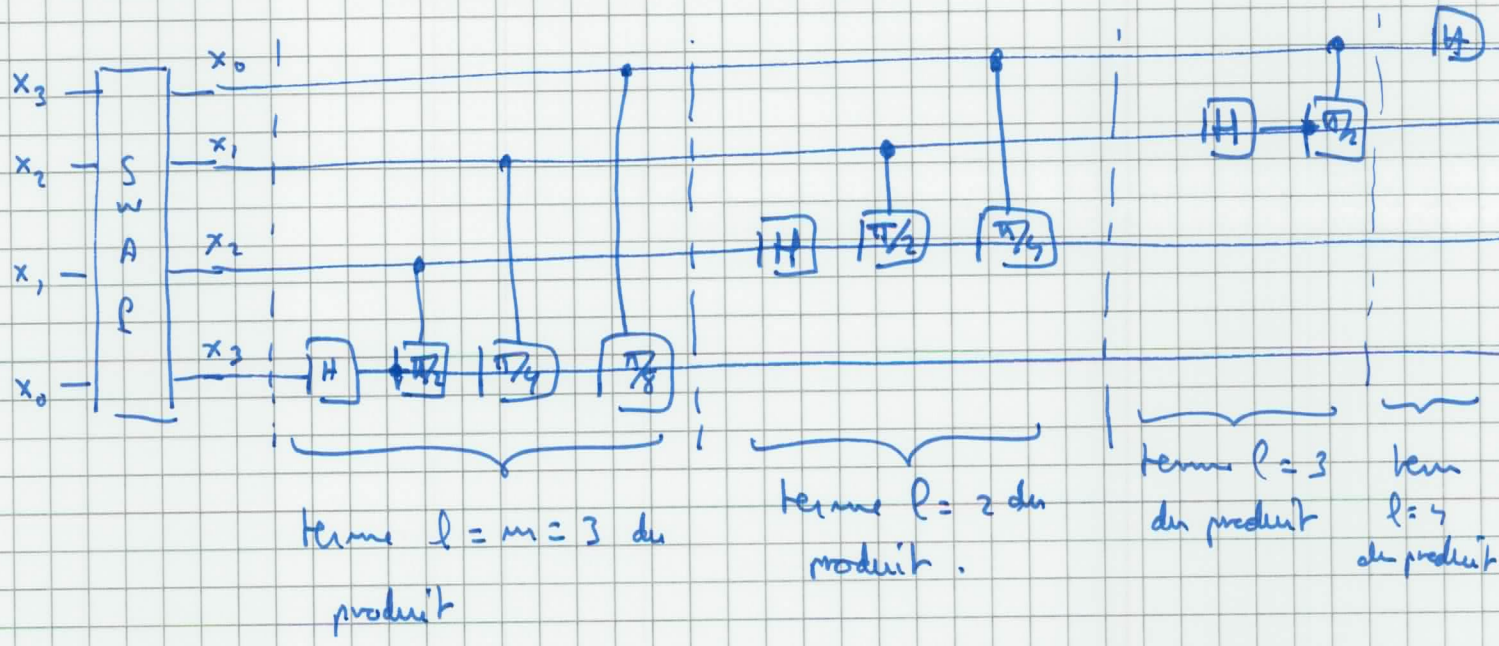
ce qui implique pour tout $1 \leq l \leq m$

$$e^{\frac{i\pi}{2^{l-1}} x} = e^{i\pi x_{l-1}} e^{\frac{i\pi}{2} x_{l-2}} \dots e^{\frac{i\pi}{2^{l-1}} x_0}$$

Ici le point est que les bits x_i avec $i \geq l$ ne contribuent pas. Ainsi la décomposition finale est :

$$QFT|x\rangle = \prod_{l=1}^m \left(\frac{|0\rangle + e^{\frac{i\pi x_{l-1}}{2}} \cdot e^{\frac{i\pi}{2} x_{l-2}} \dots e^{\frac{i\pi}{2^{l-1}} x_0} |1\rangle}{\sqrt{2}} \right)$$

Donnons le circuit correspondant pour $m = 3$:



On peut voir que l'opération de SWAP requiert $O(3m)$ portes CNOT. D'autre part le nombre de portes H et de déphasages contrôlés est

$$m + (m-1) + \dots + 1 = \frac{m(m+1)}{2}$$

La profondeur du circuit est donc de l'ordre de $O(m^2)$. Cette profondeur indique comment le temps de calcul pour le QFT augmente avec la taille des entrées. D'autre part la largeur du circuit est m . Ainsi la taille est profondeur \times largeur $= O(m^3)$.

4.6. Circuit pour U_f dans le problème de la factorisation.

Nous avons vu un algorithme aléatoire de factorisation d'entiers

N basé sur la recherche de la période de l'exponentielle

modulaire. Plus précisément pour a t.q $\text{PGCD}(a, N) = 1$

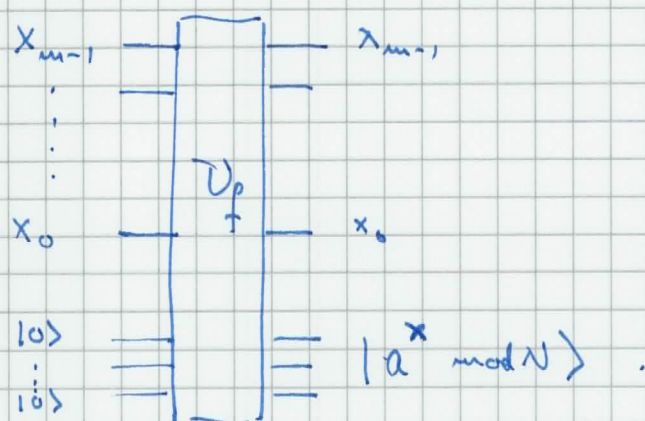
on cherche la période de la fonction $f(x) = a^x \pmod N$. Ceci

est équivalent à la recherche de $\text{Ord}_N(a) = r$ c.à.d. le plus petit

entier r t.q $a^r = 1 \pmod N$.

Nous devons donc encore voir quel est le circuit qui réalise

l'opérateur unitaire U_f .

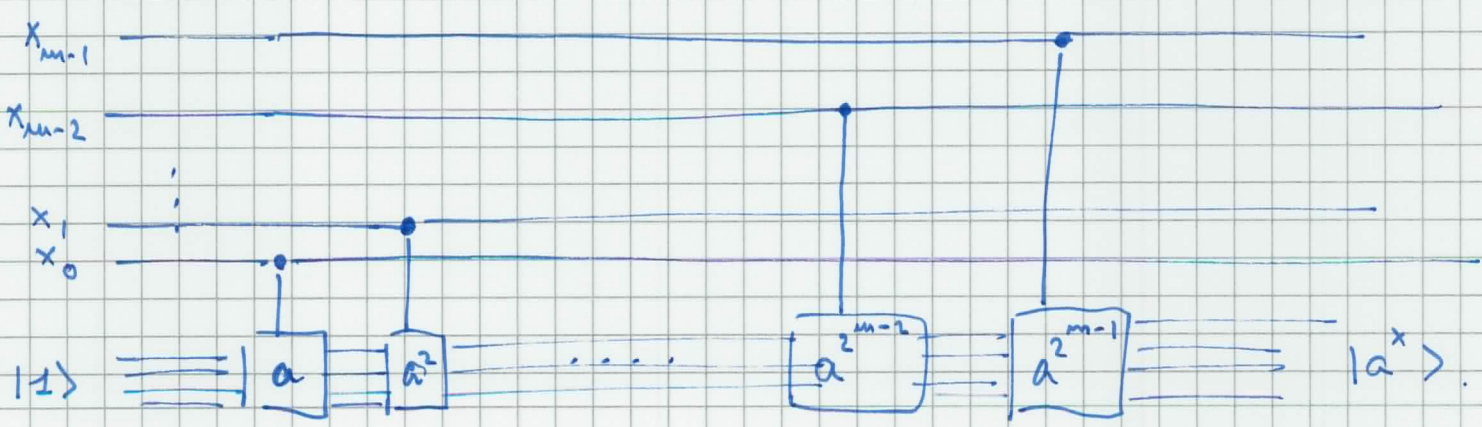


Notons d'abord que

$$\begin{aligned}
 a^x &= a^{2^{m-1} x_{m-1} + 2^{m-2} x_{m-2} + \dots + 2^1 x_1 + x_0} \\
 &= (a^{2^{m-1}})^{x_{m-1}} (a^{2^{m-2}})^{x_{m-2}} \dots (a^2)^{x_1} a^{x_0}.
 \end{aligned}$$

Les puissances paires de a peuvent être pré-calculées en un nombre polynomial d'opérations. En effet en part de a qui possède m bits (au plus). Son carré a^2 se calcule en m^2 ops.

~~Il existe des circuits classiques~~ Puisque a^2 est pris mod M , a^2 possède aussi m bits au plus. Le carré de ce dernier $a^4 = (a^2)^2$ se calcule en m^2 ops et ainsi de suite. En itérant ce procédé m fois on va jusqu'au calcul de $a^{2^{m-1}}$. Ainsi on peut calculer $\{a, a^2, a^4, a^8, \dots, a^{2^{m-1}}\}$ en $O(m \cdot m^2) = O(m^3)$ ops. Il existe des circuits classiques ^{réversibles} avec m^2 portes par calculer chaque puissance. Les circuits classiques réversibles peuvent aussi être rendus quantiques (car ils sont réversibles). Finalement par calculer x , en vertu de l'identité ci-dessous il suffit de prendre le circuit :



La profondeur de ce circuit est $O(m^3)$ et sa largeur $O(m)$.

4.7. L'Algorithme de Shor.

Nous sommes maintenant en mesure de résumer la totalité de l'Algorithme quantique de Shor pour la factorisation d'un entier N .

input: N impair, $\neq p^e$ (avec au moins deux facteurs premiers distincts)

output: un facteur non trivial de N .

Temps de calcul: $O\left((\log_2 N)^3 \log_2(\log_2 N) \lceil \ln \epsilon \rceil\right)$ pour un prob(succès) $\geq 1 - \epsilon$.

Taille du circuit: $O(\log_2 N)^3$.

Algorithme:

1. Choisir unif. aléatoirement $a \in \{2 \dots N-1\}$.

2. Calculer $\text{PGCD}(a, N) = d$ par l'alg d'Euclide,

Si $d > 1 \rightarrow$ SUCCES; on a un facteur.

Si non $d = 1 \rightarrow$ aller en 3.

3. Calculer $\text{Ord}_N(a)$ (i.e. $a^r = 1 \pmod N$, trouver le plus petit r).

Pour cela utiliser le circuit quantique avec m qubits et

$2^m = M \approx N^2$. Vérifiez que le résultat de la mesure y

génère un z satisfaisant à $a^z = 1 \pmod N$.

Si oui \rightarrow aller en 4.

Si non \rightarrow ECHEC.

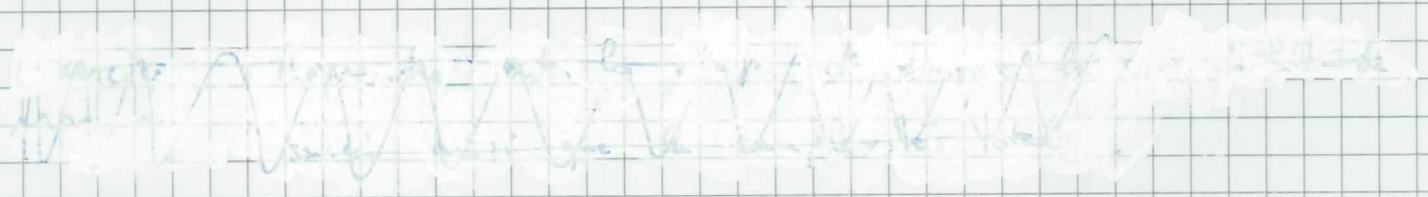
4. Vérifier si n est pair et $a^n \not\equiv -1 \pmod N$.

Si oui \rightarrow aller en 5.

Si non \rightarrow FCHFC

5. Calculez $\text{PGCD}(a^{n/2} + 1, N)$ et $\text{PGCD}(a^{n/2} - 1, N)$.

Cela donne deux facteurs non triviaux de N (grâce à l'algorithme d'Euclide.).



La probabilité de succès d'un "round" est $O\left(\frac{1}{\log_2 \log_2 N}\right)$

et sa complexité (temps de calcul) $O((\ln N)^3)$. On peut

amplifier (comme d'habitude) la probabilité de succès à $1 - \epsilon$

en faisant $O(\log_2 \log_2 N)$ rounds. Le temps de calcul total sera

alors $O((1/\epsilon) (\log_2 \log_2 N) (\log_2 N)^3)$.

Remarque : Comme $M \approx N^2$ mettre N au M dans le calcul du temps de calcul et de la probabilité de succès ne change rien aux ordres de grandeur.